

اثر انتقال حرارت جابه‌جایی اجباری بر ضرایب شدت تنش گذرا در ترک‌های نیم‌دایروی طولی در استوانه‌ها

سید مهدی نبوی^۱، کریم علیپور^۲، فاضل رحیمی^۳

۱ استادیار مجتمع دانشگاهی هواپیما، دانشگاه صنعتی مالک اشتر، تهران، nabavi@mail.com

۲ کارشناس ارشد، مجتمع دانشگاهی هواپیما، دانشگاه صنعتی مالک اشتر، تهران

۳ دانشجوی دکتری، دانشکده هواپیما، دانشگاه صنعتی شریف، تهران

تاریخ دریافت: ۱۳۹۳/۰۲/۱۴

تاریخ پذیرش: ۱۳۹۳/۱۲/۱۶

چکیده

در این مقاله ترک نیم‌دایروی واقع در سطح داخلی استوانه تحت بارگذاری مکانیکی و حرارتی گذرا تحلیل شده است. برای این منظور استوانه تحت فشار داخلی و فشار خارجی قرار داده شده است و سطح داخل آن در معرض انتقال حرارت گذرا از نوع جابه‌جایی با سیال و سطح خارجی آن در دمای ثابت محیط قرار دارد. برای حل از روش اجزای محدود سه‌بعدی و المان‌های منفرد بیست گرهی در جبهه ترک استفاده شده است. نتایج ضرایب شدت تنش حرارتی گذرا در کل جبهه ترک در زمان‌های مختلف و به ازای عمق‌های نسبی مختلف گذاری مدل‌سازی در حالات معروف جابه‌جایی اجباری است به دست آمده است. جهت صحه‌گذاری مدل‌سازی در حالات خاص بارگذاری با نتایج سایر مقالات مقایسه شده که از دقت خوبی برخوردار است. نتایج نشان می‌دهد در حالت انتقال حرارت از نوع دمای ثابت در سطح داخلی استوانه بیشترین مقادیر ضرایب شدت تنش نسبت به اعداد بیو مختلف رخ می‌دهد، لذا می‌توان گفت که انتخاب این نوع شرط مرزی حرارتی جهت تحلیل مسئله محافظه‌کارانه است. همچنین ملاحظه می‌شود که حل پایدار بیشترین ضرایب شدت تنش را در کل جبهه ترک داراست، لذا چنانچه از تحلیل پایدار بهجای گذرا در تعیین ضرایب شدت تنش استفاده گردد، این تحلیل دارای قابلیت اطمینان بالایی از منظر واماندگی خواهد بود.

واژگان کلیدی

ترک نیم‌دایروی، تنش حرارتی گذرا، روش اجزای محدود سه‌بعدی، استوانه توخالی

۱. مقدمه

بارهای اعمالی احتمال واماندگی این دسته از شکل‌های هندسی را مهطور قابل ملاحظه‌ای افزایش می‌دهد. لذا استفاده از معیارهای استوانه‌ها از جمله شکل‌های هندسی رایج در سازه‌های صنعتی و مهندسی محسوب می‌شوند. وجود عیوب ناشی از تولید، تعمیر و

شده‌اند. همچنین نبوی و آزاد اثر تعداد جملات تابع وزن در دقت حل بارگذاری حرارتی پایدار را در این نقاط بررسی نمودند [۱۲]. علیها و همکاران با استفاده از روش اجزای محدود، اثر تنש‌های پسماند ناشی از جوشکاری را بر رفتار ترکهای نیم‌بیضوی طولی در استوانه بررسی نمودند [۱۳].

در این مقاله ضرایب شدت تنش حرارتی گذرا در جبهه ترک نیم‌دایروی در حالت شباهستاییک به دست آمده است. ترک به صورت طولی و در سطح داخلی استوانه (که وضعیت بحرانی‌تری دارد) می‌باشد. استوانه با نسبت شاعع $1/25$ تحت بارگذاری مکانیکی (اعمال فشار) و انتقال حرارت گذرا از نوع جابه‌جایی اجباری قرار گرفته است. برای تحلیل از روش اجزای محدود سه‌بعدی و استفاده از المان‌های منفرد در جبهه ترک استفاده شده نتایج در زمان‌های مختلف و انواع متنوع بارگذاری حرارتی روی نقاط جبهه ترک به دست آمده است. جهت صحبت‌سنگی مدلسازی، نتایج حاصل در حالات خاص بارگذاری مکانیکی و حرارتی با نتایج سایر مقالات مقایسه شده است که دقت خوبی را نشان می‌دهد.

۲. معادلات حاکم بر مسئله ترمومالاستیسیته

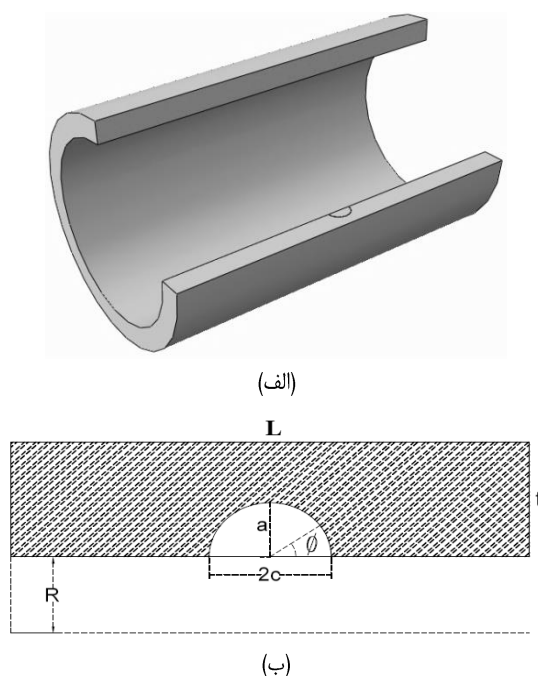
معادلات حاکم بر مسئله ترمومالاستیسیته در استوانه‌های همسان‌گرد با تقارن محوری و با صرف‌نظر از نیروهای حجمی و تولید حرارت داخلی به صورت زیر تعریف می‌شود [۱۴]:

$$\frac{\partial^2 \theta}{\partial r^2} + \frac{1}{r} \frac{\partial \theta}{\partial r} - (3\lambda + 2\mu)\alpha T_0 \left(\frac{\partial^2 u}{\partial r \partial t} + \frac{1}{r} \frac{\partial u}{\partial t} \right) = \frac{1}{\alpha *} \frac{\partial \theta}{\partial t} \quad (1)$$

$$\frac{\partial^2 u}{\partial r^2} + \frac{1}{r} \frac{\partial u}{\partial r} - \frac{u}{r^2} - \alpha(3\lambda + 2\mu) \frac{\partial \theta}{\partial r} = \frac{\rho}{\mu} \frac{\partial^2 u}{\partial t^2} \quad (2)$$

به طوری که در این روابط α ضریب نفوذپذیری، $\alpha *$ ضریب انبساط خطی، ρ چگالی، ν ضریب پواسون و λ و μ ثوابت لامه می‌باشند. یافتن توزیع میدان حرارت و جابه‌جایی با توجه به شرایط مرزی و اولیه هدف حل یک مسئله ترمومالاستیسیته می‌باشد. بهجهت تأثیری که میدان حرارت روی معادله حرکت ۲ و نیز اتلاف مکانیکی روی معادله انرژی ۱ می‌گذارند معادلات به یکدیگر وابسته هستند. همچنین در حین تحلیل‌ها، خواص

شعاع داخلی استوانه باشد تا بتوان از اثر لبه ها روی ضرایب شدت تنش صرف نظر کرد و نیز فرض کرنش صفحه ای برقرار باشد [۱۷]، از این تر $L/R_i = 5$ در نظر گرفته شده است. استوانه تحت فشار داخلی و خارجی به عنوان بارگذاری مکانیکی قرار گرفته است. در بارگذاری حرارتی سطح خارجی استوانه هم دما با دمای اولیه استوانه و سطح داخلی آن در معرض سیال با اختلاف دمای θ و ضریب همرفت h در نظر گرفته شده و از اثر نفوذ حرارت به داخل سطح ترک صرف نظر شده است. در تحلیل تنش حرارتی گذرا نیز فرض شده که مدل حل براساس معادلات ترمومکانیک غیر کوپل و شباهستاتیکی انجام گیرد، که بر این اساس ابتدا انتقال حرارت گذرا به صورت غیروابسته تحلیل شده سپس به حل تنش ناشی از آن پرداخته می شود.



شکل ۱. نمایی شماتیک از (الف) ترک نیم دایروی در سطح داخلی استوانه، (ب) معرفی پارامترهای ترک نیم دایروی

جهت تحلیل مسئله، از مدل سازی سه بعدی اجزای محدود استفاده شده است. به دلیل تقارن موجود در هندسه و بارگذاری، مسئله مورد بررسی دارای دو صفحه تقارن طولی و عرضی است، لذا از مدل یک چهارم استوانه استفاده شده است. در المان بنده استوانه ترک دار، از شکل منفرد المان بیست گرهی آیزوپارامتریک مرتبه دوم برای نقاط روی جبهه ترک استفاده شده است. با توجه به سه بعدی بودن ترک نیم دایروی و قرار داشتن نوک ترک در

ترمومکانیکی ماده ثابت و مستقل از حرارت فرض می شوند. چنانچه نوع شرایط مرزی از نوع اعمال شوک حرارتی باشد، در این حالت تحلیلها باید بر اساس حل کوپل صورت گیرد و اثر حرکت پیشانی موج حرارتی لحاظ گردد. چنانچه توزیع دما در جسم به صورت پیوسته و با تغییرات ملایم باشد و نیز نرخ کرنش و نرخ دما هم مرتبه باشند، در این صورت می توان از اثر ترمها کوپلینگ در معادلات صرف نظر نمود و معادلات به صورت غیر کوپل تحلیل شوند [۱۵].

در این مقاله نوع شرایط مرزی مکانیکی به صورت اعمال فشار شباهستاتیک در سطوح داخلی و خارجی استوانه و نوع شرایط مرزی حرارتی به صورت انتقال حرارت جابه جایی در سطح داخلی استوانه و دمای ثابت در سطح خارجی آن در نظر گرفته شده است. در جدول ۱ محدوده تغییرات ضرایب جابه جایی بر حسب نوع همرفت ارائه شده است. ماهیت انتقال حرارت جابه جایی براساس عدد بیو قابل بیان است. عدد بیو معرف نسبت مقاومت داخلی جسم در انتقال حرارت از نوع هدایت به مقاومت خارجی جسم در انتقال حرارت از نوع جابه جایی می باشد. در نتیجه کوچک بودن عدد بیو منجر به وجود گرادیان دمایی کمتری در جسم می شود. همچنین در مواردی که عدد بیو کمتر از $1/10$ باشد، حل به صورت مدل توده ای^۳ انجام می گیرد و تغییرات دما در داخل جسم بسیار جزئی شده (کمتر از ۵ درصد) و تقریباً یکنواخت می شود [۱۶]. از اینرو، در این مقاله عدد بیو از این مقدار بیشتر فرض شده است تا امکان ارزیابی اثر حرارت در رفتار ضرایب شدت تنش میسر گردد.

جدول ۱. مقادیر نوعی ضرایب انتقال حرارت جابه جایی [۱۶]

نوع فرایند	$h (\text{W}/\text{°K.m}^2)$
جابه جایی آزاد گازها	۲ تا ۲۵
جابه جایی آزاد مایعات	۵۰ تا ۱۰۰
جابه جایی اجباری (وادادشته) گازها	۲۵۰ تا ۲۵
جابه جایی اجباری (وادادشته) مایعات	۱۰۰ تا ۲۰۰۰
جابه جایی با تغییر فاز (جوشش یا چگالش)	۲۵۰۰ تا ۱۰۰۰۰

۳. مدل سازی اجزای محدود سه بعدی

مطابق شکل ۱ استوانه همسانگرد بلند حاوی ترک نیم دایروی طولی نشان داده شده است. طول استوانه باید حداقل چهار برابر

با توجه به اینکه مدلسازی پیش‌گفته باید برای تعداد زیادی از هندسه‌های مشابه ولی با اندازه‌های مختلف عمق نسبی و نیز بارگذاری‌های مختلف حرارتی انجام گیرد، لذا از قابلیت برنامه‌نویسی^۴ در نرمافزار انسیس^۵ استفاده شده است [۱۸]. برای تحلیل تنش حرارتی گذرا سازگاری المان‌های مورد استفاده در تحلیل حرارت و تنش در نرمافزار مورد توجه قرار گرفته است. همچنین یکی از فرضیات اصلی در مکانیک شکست الاستیک خطی پیوسته‌بودن جبهه ترک است که این فرض در نقاط گوشی‌ای ترک که جبهه ترک به سطح آزاد می‌رسد برقرار نیست. مرتبه انفراد تنش در نقاط گوشی‌ای ترک به خواص ماده (ضریب پواسون) و زاویه برخورد جبهه ترک با سطوح آزاد بستگی دارد [۱۹]، لذا برای محاسبه مقادیر ضرایب شدت تنش در نقاط لبه‌ای ترک از مقدار میانگین در المان لبه‌ای جبهه ترک به صورت ترکیب حالت تنش صفحه‌ای و کرنش صفحه‌ای استفاده شده است. تعیین ضرایب شدت تنش از سه روش انتگرال J ، تکنیک مشتق سفتی و برون‌یابی جابه‌جایی میسر است که در روش برون‌یابی جابه‌جایی، ضریب شدت تنش با استفاده از گره‌های المان منفرد به صورت زیر تعیین می‌شود [۲۰]:

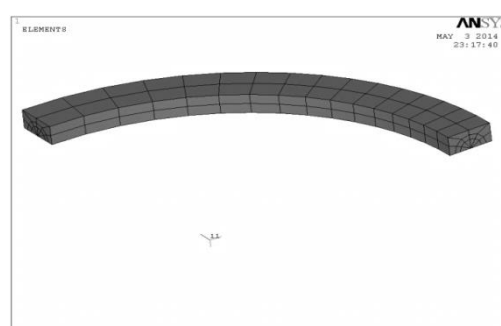
$$K_I = \frac{2G}{\kappa+1} \sqrt{\frac{2\pi}{r}} \delta(r) \quad (3)$$

در این رابطه در حالت کرنش صفحه‌ای $\kappa = 3 - 4V$ و در حالت تنش صفحه‌ای $\kappa = (3-V)/(1+V)$ می‌باشد. همچنین G مدول برشی، V ضریب پواسون، $\delta(r)$ جابه‌جایی نقاط در راستای عمودی و r فاصلی عمودی از جبهه ترک می‌باشد. در محاسبه ضریب شدت تنش روی جبهه ترک به غیر از نقطه سطحی آن، حالت کرنش صفحه‌ای در نظر گرفته شده است.

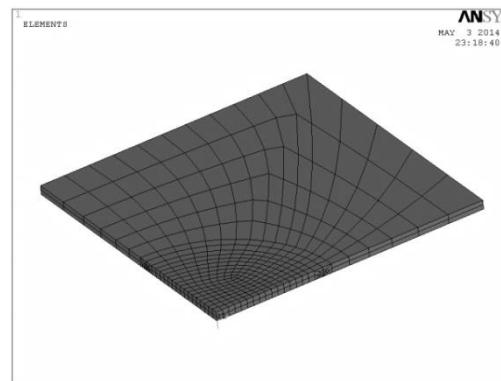
۴. صحبت‌سنگی تحلیل

جهت تحلیل، استوانه تحت فشار داخلی ۱۰ مگاپاسکال و فشار خارجی ۱۰۰ مگاپاسکال قرار گرفته است. همچنین سطح داخلی استوانه تحت انتقال حرارتی جابه‌جایی سیال با دمای ۱۰۰ درجه سانتی‌گراد قرار گرفته است و نوع جابه‌جایی اجباری با عدد بیو تعیین و خواص ماده مورد استفاده در جدول ۲ ارائه شده است. بهمنظور صحة‌گذاری نتایج حاصل از مدلسازی سبعده در حالات خاص با نتایج سایر مقالات مقایسه شده و در جدول‌های ۳ تا ۶ ارائه شده است. در جدول‌های ۳ و ۴ ضرایب شدت تنش بی‌بعد

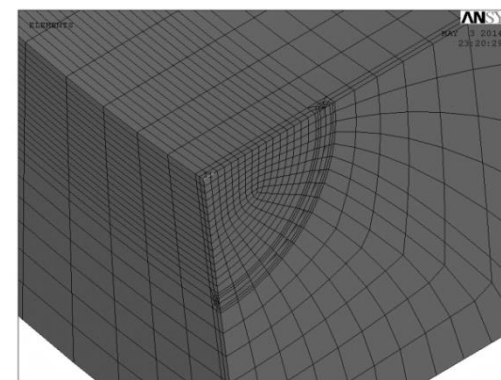
یک منحنی، جهت مدلسازی، ابتدا روی جبهه ترک توپلی از المان‌های منفرد ایجاد می‌گردد (شکل ۲، قسمت الف) و سپس با استفاده از المان‌های غیرمنفرد، صفحه ترک مطابق با المان‌های تولیدشده قبلی مدلسازی می‌شود (شکل ۲، قسمت ب) که در مدلسازی، گره‌ها باید روی هم قرار گیرند و سیستم المان‌ها یکپارچه باشد. پس از مدلسازی صفحه ترک سایر قسمت‌های باقیمانده از استوانه با استفاده از المان‌های آجری المان‌بندی می‌شود (شکل ۲، قسمت ج).



(الف)



(ب)



(ج)

شکل ۲. مدلسازی اجزای محدود سبعده در ترک نیم‌دایروی واقع در سطح داخلی استوانه؛ (الف) ایجاد المان منفرد در توپل ترک، (ب) مدلسازی صفحه ترک با المان غیرمنفرد، (ج) مشبندی سایر قسمت‌های استوانه

جدول ۵. ضرایب شدت تنش بی بعد شده ناشی از فشار داخلی و دمای پایدار در استوانه برای نقطه عمقی ترک

a/t	K_N			
۰/۸	۰/۶	۰/۴	۰/۲	
۲/۸۸	۸/۰۳	۱۲/۱۵	۱۸/۵۳	مقاله حاضر
۲/۸۴	۸/۰۵	۱۲/۲۱	۱۸/۴۱	[۱۲] نوی و آزاد

جدول ۶. ضرایب شدت تنش بی بعد شده ناشی از فشار داخلی و دمای پایدار در استوانه برای نقطه سطحی ترک

a/t	K_N			
۰/۸	۰/۶	۰/۴	۰/۲	
۲۲/۴۰	۲۳/۸۵	۲۴/۳۴	۲۵/۱۰	مقاله حاضر
۲۳/۷۳	۲۳/۹۸	۲۴/۵۳	۲۵/۴۸	[۲۲] شاهانی و نوی

همچنین در جدول‌های ۵ و ۶ نتایج ناشی از بارگذاری حرارتی پایدار با شرط مرزی دمای ثابت روی سطوح استوانه با مقاولات مبتنی بر روش تابع وزن مقایسه شده است. با مقایسه نتایج در جدول‌های پیش‌گفته ملاحظه می‌شود که مدل‌سازی سه‌بعدی اجزای محدود هم در حالت بارگذاری مکانیکی و هم در حالت بارگذاری حرارتی از دقت مناسبی برخوردار می‌باشد.

۵. نتایج و بحث

مقادیر ضرایب شدت تنش حرارتی بی بعد شده برای حالت‌های مختلف هندسی و بارگذاری حرارتی گذرا در ترک نیم‌دایره‌ای به صورت نمودارهای ۳ تا ۶ ارائه شده است. حالت‌های مختلف هندسی شامل عمق‌های نسبی مختلف از ۰/۲ تا ۰/۸ و حالت‌های مختلف بارگذاری حرارتی به صورت تغییر عدد بیو (که معرف نوع جایه‌جایی اجباری در انتقال حرارت است) می‌باشد. در شکل‌های ۳ تا ۶ مقادیر ضریب شدت تنش حرارتی بی بعد شده را در جبهه ترک بازی مقادیر مختلف عدد بیو و زمان ارائه شده است. در هر شکل، تغییرات ضرایب شدت تنش در پنج مقدار مختلف عدد بیو (از ۰/۱ تا بی‌نهایت) در عمق‌های نسبی متفاوت نمایش داده شده است. مطابق شکل‌ها ملاحظه می‌شود که همیشه نقاط نزدیک به سطح داخلی استوانه (سطحی تر) مقادیر بزرگتری از ضرایب شدت تنش را دارا هستند، این بدان معناست که ترک نیم‌دایروی برای رشد از نقطه سطحی رشد می‌کند و به حالت نیم‌بیضوی تبدیل

شده به ترتیب برای نقاط عمقی و سطحی ترک در حالت بارگذاری مکانیکی که به صورت فشار روی سطح داخلی استوانه می‌باشد با مقاولات دیگر مقایسه شده که از تطابق خوبی برخودار است.

جدول ۲. خواص ماده مورد استفاده در استوانه

خاصیت	واحد	مقدار
چگالی	kg/m^3	۷۸۳۳
ضریب انبساط حرارتی	$1/\text{K}$	$۱۱/۷ \times ۱۰^{-۶}$
ظرفیت گرمایی ویژه	$\text{J}/\text{kg} \cdot ^\circ\text{K}$	۴۶۵
ضریب هدایت گرمایی	$\text{W}/\text{m} \cdot ^\circ\text{K}$	۴۳
مدول یانگ	GPa	۲۰۷
ضریب پواسون	-	۰/۳

جدول ۳. ضرایب شدت تنش بی بعد شده ناشی از فشار داخلی در استوانه در نقطه عمقی ترک

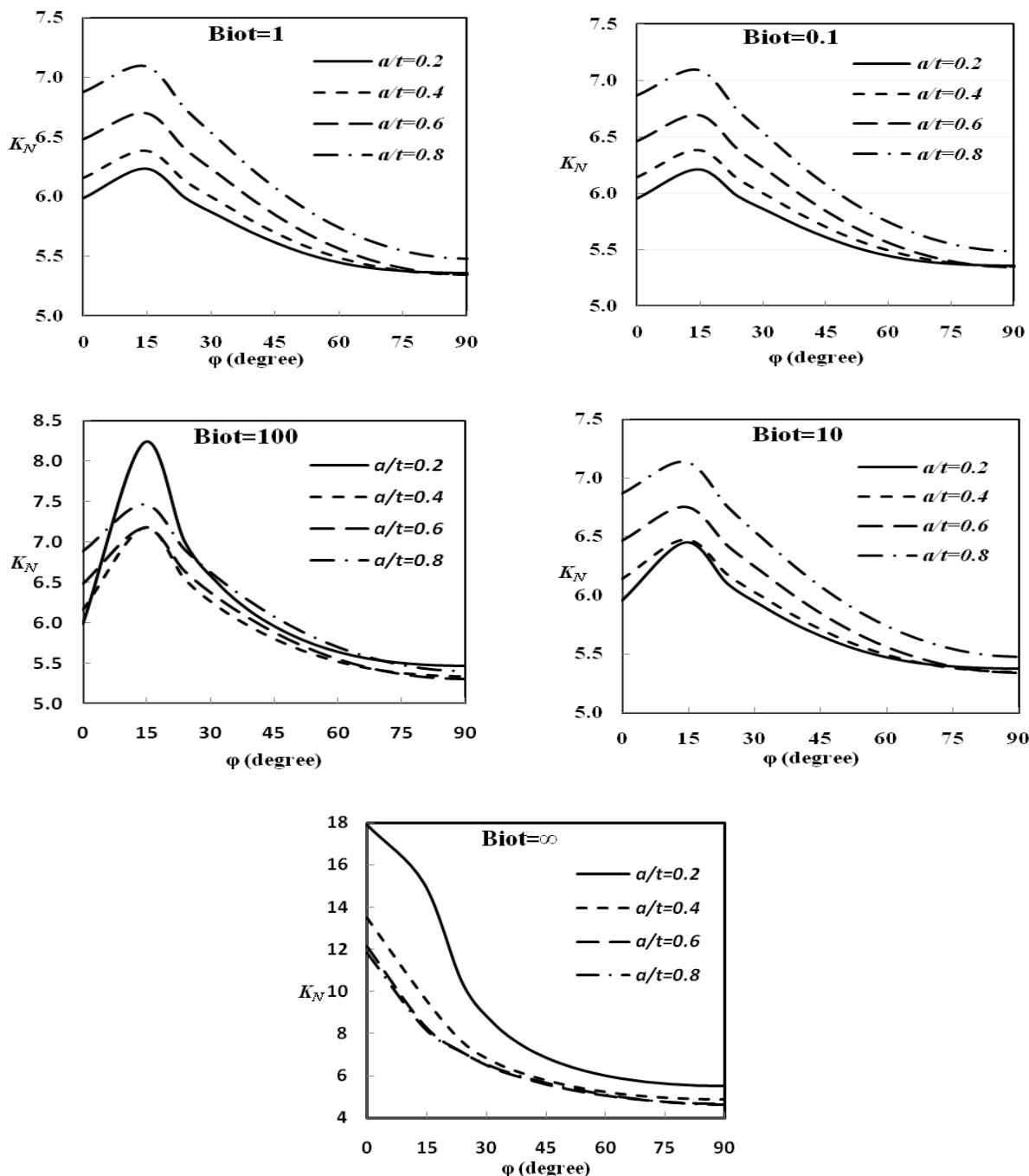
a/t	K_N			
۰/۸	۰/۶	۰/۴	۰/۲	
۵/۵۴	۵/۴۱	۵/۴۰	۵/۴۱	مقاله حاضر
۵/۵۸	۵/۵۱	۵/۴۴	۵/۴۱	[۱] نیومن و راجو
۵/۴۱	۵/۳۷	۵/۴۱	۵/۴۹	[۶] ژنگ و همکارانش
۵/۴۷	۵/۳۷	۵/۳۹	۵/۳۷	[۱۷] نوی و شاهانی
۵/۴	۵/۴	۵/۴	-	[۲۱] دسجاردنز و همکارانش

جدول ۴. ضرایب شدت تنش بی بعد شده ناشی از فشار داخلی در استوانه در نقطه سطحی ترک

a/t	K_N			
۰/۸	۰/۶	۰/۴	۰/۲	
۶/۹۳	۶/۵۳	۶/۲۰	۶/۰۱	مقاله حاضر
۷/۳۸	۶/۷۵	۶/۲۹	۶/۰۴	[۱] نیومن و راجو
۷/۱۱	۶/۶۶	۶/۳۶	۶/۲۲	[۶] ژنگ و همکارانش
۶/۷۴	۶/۷۰	۶/۴۷	۶/۲۵	[۱۷] نوی و شاهانی
۷/۱	۶/۶	۶/۴	۶/۲	[۲۱] دسجاردنز و همکارانش

ترکهای عمیق سبب شکست شده و در اعداد بیو بالا ترکهای کم عمق سبب واماندگی استوانه می‌شوند. یکی از موارد قابل توجه در تحلیل‌ها اثر بار حرارتی نسبت به بار مکانیکی در توزیع مقادیر ضرایب شدت تنش می‌باشد. در حالتی که عدد بیو پائین باشد (مثلًاً $1/10$) و زمان کافی برای انتقال حرارت وجود نداشته باشد (مثلًاً یک ثانیه) عملًا توزیع ضرایب شدت تنش به نتایج بارگذاری مکانیکی خالص نزدیک می‌شود.

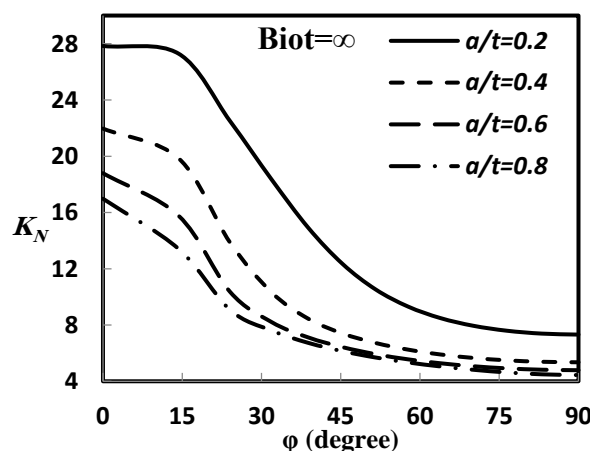
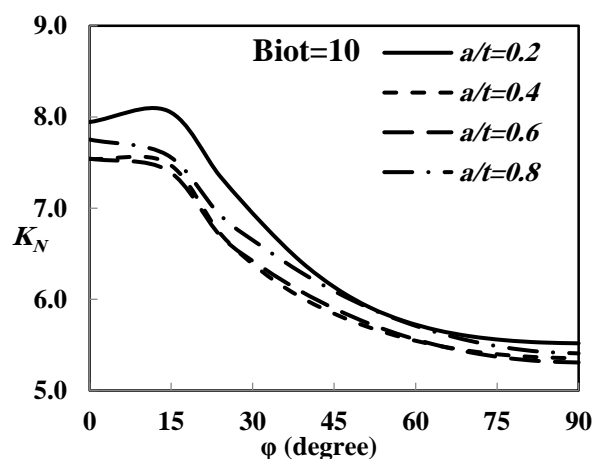
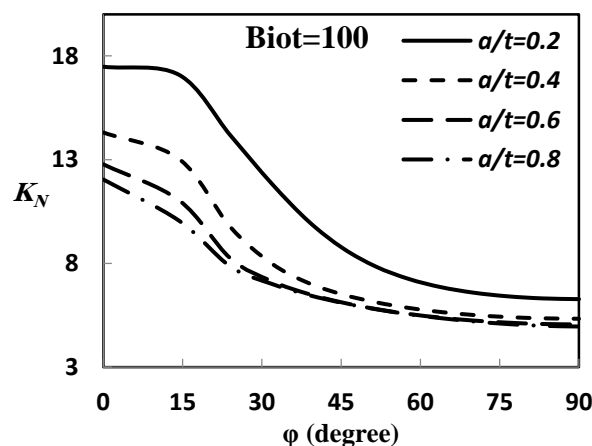
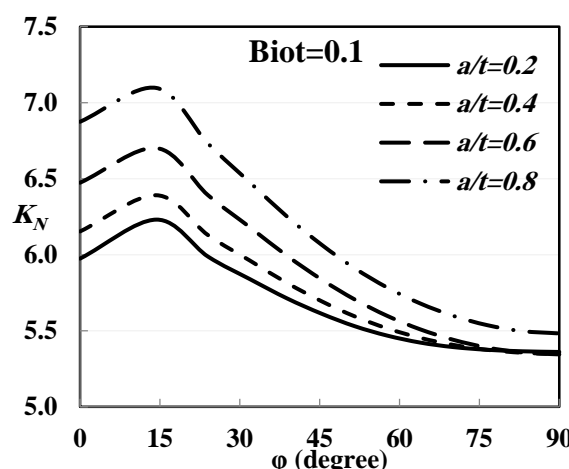
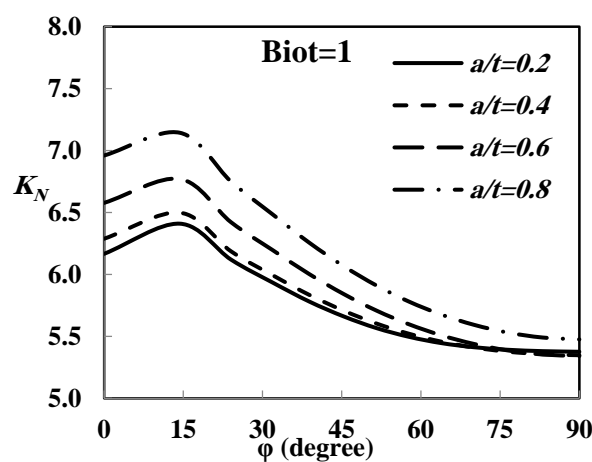
می‌گردد. همچنین می‌توان دید که همیشه ترکهای عمیق بدترین وضعیت شدت تنش را ندارند، بلکه در اعداد بیو بزرگ، مقادیر ضرایب شدت تنش حرارتی در ترکهای کم عمق نسبت به حالت ترکهای عمیق‌تر بزرگ‌تر می‌شوند. بنابراین ترکهای کم عمق نیز در برخی شرایط بارگذاری حرارتی وضعیت بحرانی‌تری را دارا هستند. این بدان معناست که اگر معیار طراحی رسیدن به مقدار چهارمگی شکست باشد در اعداد بیو پائین



شکل ۳. تغییرات ضرایب شدت تنش در جهه ترک نیم دایروی در زمان ۱ ثانیه به ازای مقادیر مختلف عدد بیو

می‌یابند. در حالت انتقال حرارت از نوع دمای ثابت در سطح داخلی استوانه (بیو بی‌نهایت) بیشترین مقادیر ضرایب شدت تنش نسبت به اعداد بیو مختلف رخ می‌دهد، لذا می‌توان گفت که انتخاب این نوع شرط مرزی حرارتی جهت تحلیل مسئله محافظه‌کارانه است.

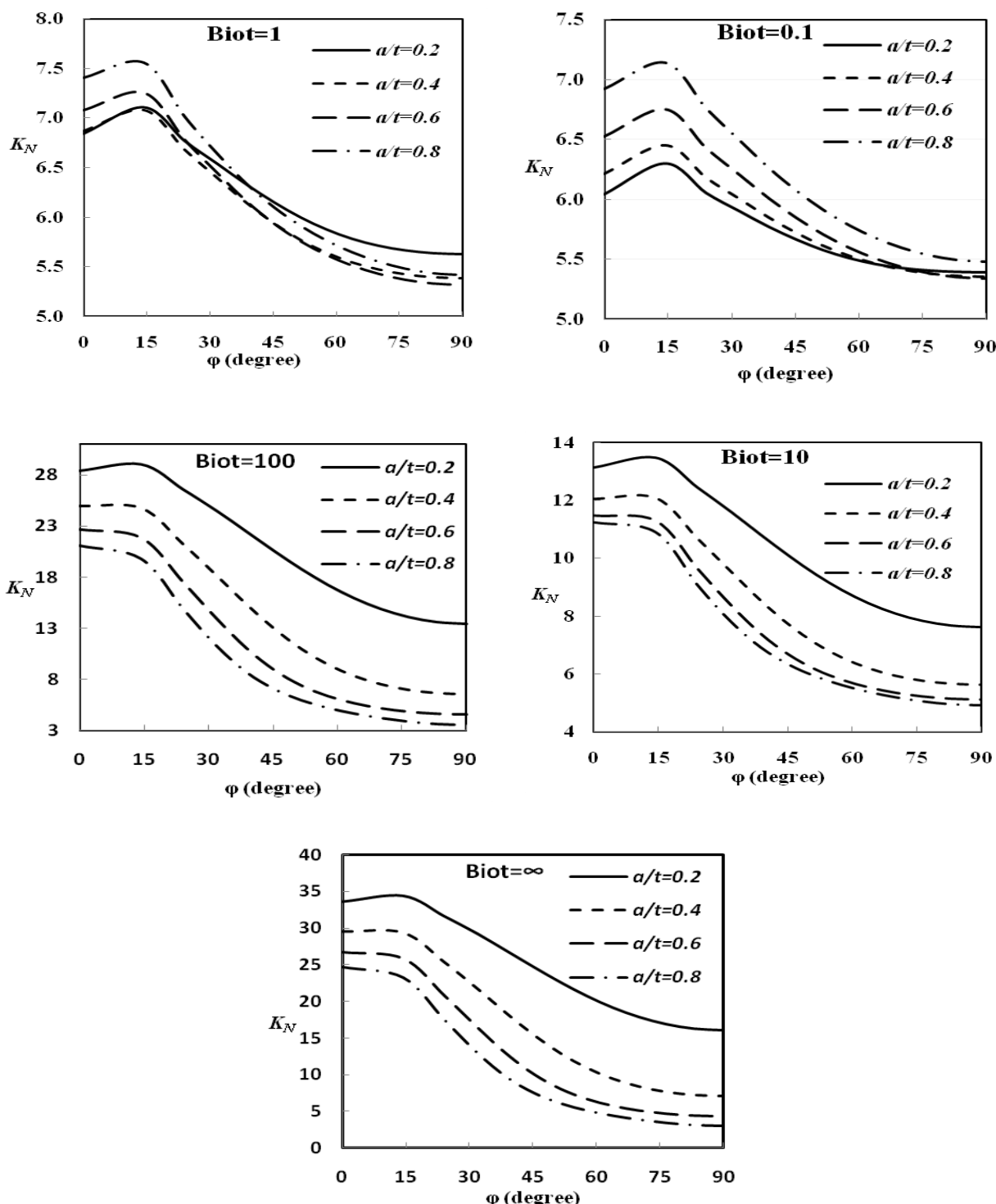
با افزایش عدد بیو ضرایب شدت تنش در کلیه نقاط روی جبهه ترک افزایش می‌یابد. بدین ترتیب هر قدر جابه‌جایی اجباری حرارتی بیشتر باشد، نفوذ تنش حرارتی به داخل ترک و به دنبال آن گسترش اثر آن بیشتر شده و ضرایب شدت تنش افزایش



شکل ۴. تغییرات ضرایب شدت تنش در جبهه‌ی ترک نیم‌دایروی بازی ا مقادیر مختلف عدد بیو

نقاط سطحی نسبت به عمق بیشتر است. همچنین ملاحظه می‌شود که حل پایدار بیشترین ضرایب شدت تنش در جبهه ترک را دارد، لذا می‌توان گفت که چنانچه از تحلیل پایدار بهجای گذرا در تعیین ضرایب شدت تنش استفاده گردد این تحلیل دارای قابلیت اطمینان بالایی از منظر واماندگی برخوردار است.

جهت تعیین اثر انتقال حرارت گذرا و زمان روی مقادیر ضرایب شدت تنش حرارتی با مقایسه نمودارها ملاحظه می‌شود که در اعداد بیو پایین گذشت زمان تغییرات جزئی روی ضرایب شدت تنش در جبهه ترک ایجاد می‌کند، اما با افزایش عدد بیو شدت تنش در نقاط جبهه ترک افزایش می‌یابد. نرخ افزایش در



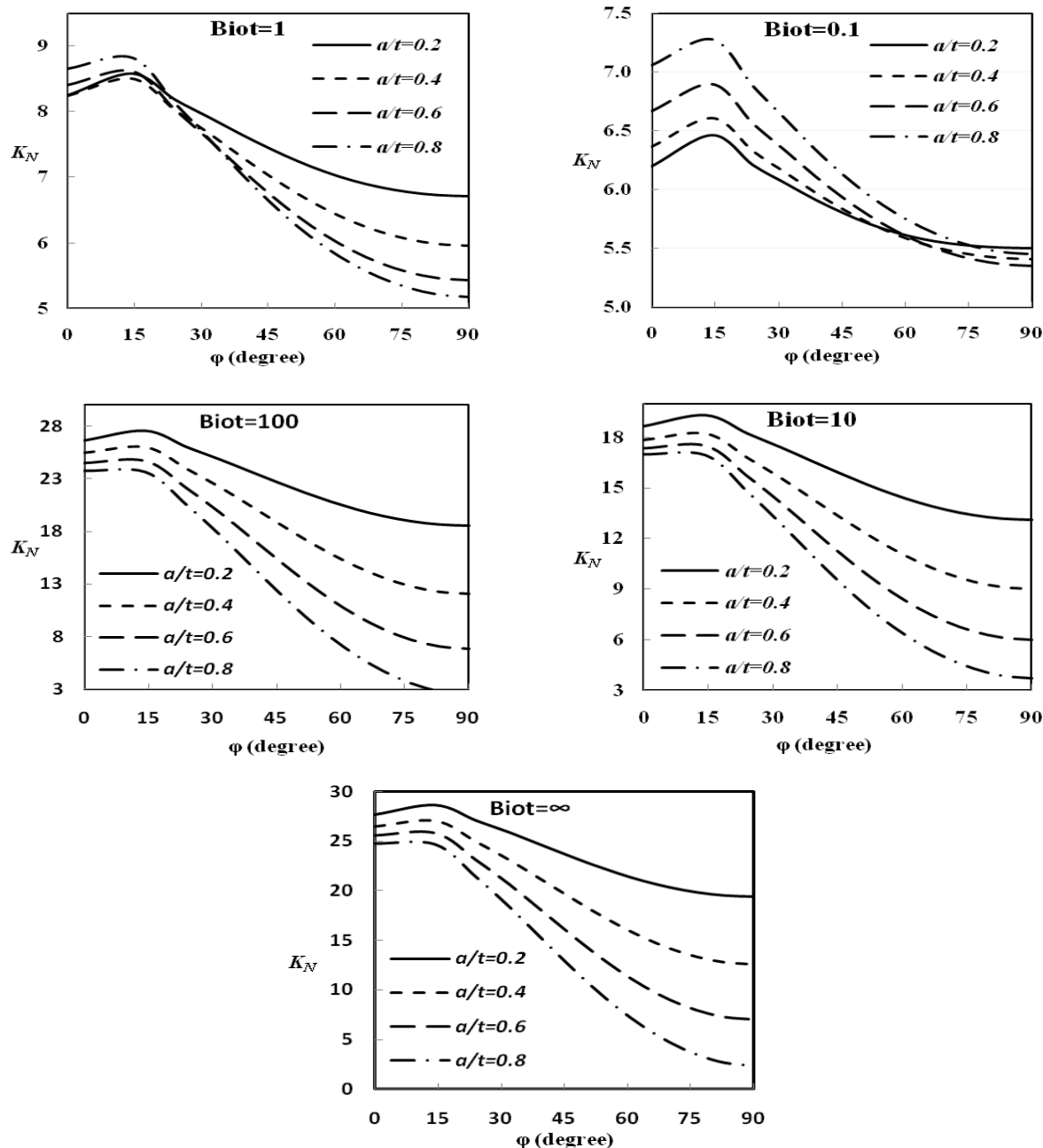
شکل ۵. تغییرات ضرایب شدت تنش در جبهه ترک نیم‌دایروی بازی مقدار مختلط عدد بیو در زمان ۱۰۰ ثانیه بازی مقدار مختلط عدد بیو

حالت نیمه پیضوی را دارد. در اعداد بیو پایین که اثر بارگذاری حرارتی نسبت به مکانیکی کمتر است ترکهای عمیق بحرانی تر هستند. در اعداد بیو بالا ترکهای کم عمق خطرناک ترند. از دید طراحی، چنانچه بار حرارتی از نوع اعمال دما در سطح داخلی استوانه لحظه گردد، نتایج تحلیل محافظه کارانه خواهد بود. نهایتاً اینکه ضرایب شدت تنش ناشی از حل حرارتی پایدار در همه نقاط روی جبهه ترک از حل گذرا بیشتر است؛ لذا انتخاب حل پایدار جهت طراحی ضریب اطمینان بالاتری را به همراه دارد.

۵. جمع‌بندی

در این مقاله ضرایب شدت تنش حرارتی در استوانه حاوی ترک نیمه دایروی طولی تحت بارگذاری ترمومکانیکی گذرا تحلیل شده است. جهت حل از مدل‌سازی سه‌بعدی اجزای محدود استفاده شده است. نتایج حاصل از این تحقیق بدین شرح است.

نتایج ضرایب شدت تنش روی جبهه ترک نیمه دایروی به ازای مقادیر مختلف عمق نسبی و اعداد مختلف بیو در زمان‌های متفاوت ارائه شده است. در همه حالات بارگذاری حرارتی ترک از نقطه سطحی شروع به رشد خواهد کرد و تمایل به تبدیل شدن به



شکل ۶. تغییرات ضرایب شدت تنش در جبهه ترک نیمه دایروی به ازای مقادیر مختلف عدد بیو

۶. مأخذ

- [1] Newman, Jr. C., I. S. Raju. "Stress-intensity factors for internal surface cracks in cylindrical pressure vessels." *Journal of Pressure Vessel Technology* 102, 1980, pp. 342-8.
- [2] Lee, Y. S., M. Raymund. "Stress intensity factor solutions for internal longitudinal semi-Circular surface flaws in a cylinder under arbitrary loading." *Journal of Pressure Vessel Technology* 105, 1983, pp. 309-15.
- [3] Guozhong, C., Z. Kangda, W. Dongdi. "Stress intensity factors for internal semi-elliptical surface cracks in pressurized thick-walled cylinders using the hybrid boundary element method." *Engineering Fracture Mechanics* 52(6), 1995, pp. 1055-64.
- [4] Chen, D.-H., H. Nisitani, K. Mori. "Stress intensity factors for an internal semi-elliptical surface crack in cylindrical pressure vessels." *Journal of Pressure Vessel Technology* 117, 1995, pp. 213-21.
- [5] Fan, X. G., J. S. Sun, J. Qian. "A combination of the weight function method and the line spring model: A surface-cracked cylindrical shell subjected to stress gradients." *International Journal of Solid and Structures* 32(20), 1995, pp. 3037-46.
- [6] Zheng, X. J., G. Glinka, R. Dubey. "Calculation of stress intensity factors for semi-elliptical cracks in a thick-wall cylinder." *International Journal of Pressure Vessel and Piping* 62, 1995, pp. 249-58.
- [7] Zheng, X. J., A. Kiciak, G. Glinka. "Weight functions and stress intensity factors for internal surface semi-elliptical crack in thick-walled cylinder." *Engineering Fracture Mechanics* 58(3), 1997, pp. 207-21.
- [۸] جعفری، علی اصغر، پریسا حسینی تهرانی و محمد راستگو. "محاسبه ضرایب شدت تنش برای استوانههای جدار ضخیم شامل ترک نیم دایره‌ای تحت گرادیان حرارتی به روش عددی و تحلیلی." دهمین کنفرانس سالانه و پنجمین کنفرانس بین‌المللی مهندسی مکانیک، تهران.
- [9] Kotousov, A., J. W. H. Price. "Elastic analysis of semi-elliptical axial cracks in cylinders under thermal shock using the BS 7910 framework." *International Journal of Pressure Vessels and Piping* 76, 1999, pp. 831-7.
- [10] Hachi, B. K., S. Rechak, Y. Belkacemi, G. Maurice. "Modelling of elliptical cracks in an infinite body and in a pressurized cylinder by a hybrid weight function approach." *International Journal of Pressure Vessels and Piping* 82, 2005, pp. 917-24.
- [11] Nabavi, S. M., A. R. Shahani. "Thermal stress intensity factors for a cracked cylinder under transient thermal loading." *International Journal of Pressure Vessels and Piping* 86, 2009, pp. 153-63.
- [۱۲] نبوی، سید مهدی و رضا آزاد. "بررسی اثر تعداد جملات تابع وزن در دقت ضرایب شدت تنش در استوانه‌های ترک‌دار." بیستمین کنفرانس بین‌المللی سالانه مهندسی مکانیک، دانشگاه شیراز، شیراز، ۱۳۹۱.
- [13] Aliha M. R. M., H. Gharehbagli, R. Ghafoori Ahangar. "Fracture study of a welded aluminum cylinder containing longitudinal crack and subjected to combined residual stress and internal pressure." *Presented at the 12th International Aluminum Conference*, Montreal, Canada, 2013.
- [۱۴] علیپور، کریم، سید مهدی نبوی، مهدی بخشان، فاضل رحیمی، و هادی زارعی قوشابلاغ. "حل تنش‌های حرارتی در استوانه‌ها ناشی از انتقال حرارت جابجایی اجرایی در حالت پایا." سیزدهمین کنفرانس انجمن هواشناسی ایران، دانشکدة علوم و فنون نوین، دانشگاه تهران، تهران، ۱۳۹۲.
- [15] Boley. B. A., J. H. Weiner. *Theory of Thermal Stresses*. Wiley Inc., 1960.
- [16] Cengel. Y. A. *Heat Transfer: A Practical Approach*. McGraw-Hill, 2003.
- [17] Nabavi, S. M., and A. R. Shahani. "Calculation of stress intensity factors for a semi-elliptical crack in a finite-length thick-walled cylinder." *Fatigue and Fracture of Engineering Materials and Structures* 31(1), 2008, pp. 85-94.
- [18] ANSYS Release 11, ANSYS, Inc, Canonsburg, PA, 2009.
- [19] Pook, L. P. "Crack profiles and corner point singularities." *Fatigue and Fracture of*

- Engineering Materials and Structures* 23, 2000, pp. 141-50.
- [20] Banks-Sills, L. "Application of the finite element to linear elastic fracture mechanic." *Applied Mechanic Review* 44(10), 1991, pp. 447-61.
- [21] Desjardins, J. L., D. J. Burns, and J. C. Thompson. "A weight function technique for estimating stress intensity factors for cracks in high pressure vessels." *Journal of Pressure Vessel Technology* 113, 1991, pp. 10-21.
- [22] Shahani, A. R., S. M. Nabavi. "Transient thermal stress intensity Factors for an internal longitudinal semi-elliptical crack in a thick-walled cylinder." *Engineering Fracture Mechanics* 74(16), 2007, pp. 2585-602.

پی‌نوشت

-
1. Parks' stiffness derivative technique
 2. line-spring
 3. Lumped model
 4. APDL
 5. ANSYS 11